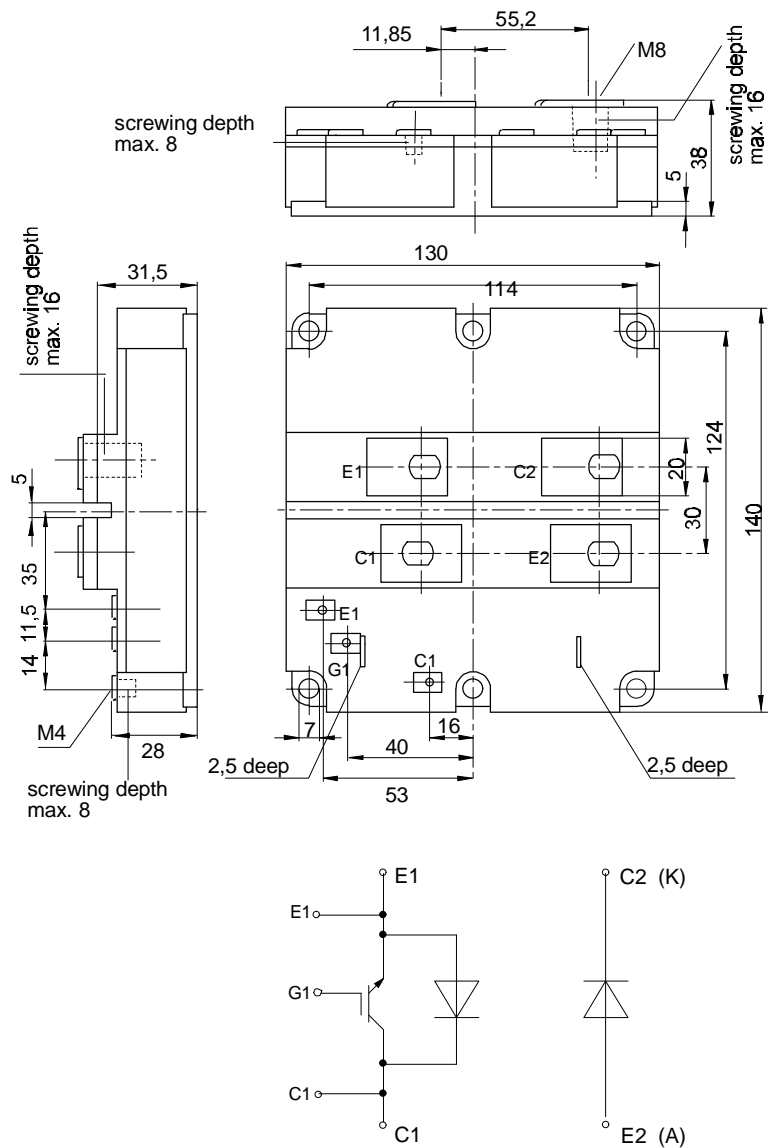


European Power-  
Semiconductor and  
Electronics Company  
GmbH + Co. KG

## Marketing Information FD 600 R 12 KF4



## FD 600 R 12 KF 4

### Höchstzulässige Werte / Maximum rated values

#### Elektrische Eigenschaften / Electrical properties

Kollektor-Emitter-Spannung	collector-emitter voltage	$V_{CES}$	1200 V	
Kollektor-Dauergleichstrom	DC-collector current	$I_C$	600 A	
Periodischer Kollektor Spitzstrom	repetitive peak collector current	$t_p=1 \text{ ms}$	$I_{CRM}$	1200 A
Gesamt-Verlustleistung	total power dissipation	$t_c=25^\circ\text{C}$ , Transistor /transistor	$P_{tot}$	3900 W
Gate-Emitter-Spitzspannung	gate-emitter peak voltage	$V_{GE}$	$\pm 20 \text{ V}$	
Dauergleichstrom	DC forward current	$I_F$	600 A	
Periodischer Spitzenstrom	repetitive peak forw. current	$t_p=1\text{ms}$	$I_{FRM}$	1200 A
Isolations-Prüfspannung	insulation test voltage	RMS, f=50 Hz, t= 1 min.	$V_{ISOL}$	2,5 kV

### Charakteristische Werte / Characteristic values: Transistor

			min.	typ.	max.
Kollektor-Emitter Sättigungsspannung	collector-emitter saturation voltage	$i_c=600A, v_{ce}=15V, t_v=25^\circ\text{C}$ $i_c=600A, v_{ce}=15V, t_v=125^\circ\text{C}$	$V_{CE \text{ sat}}$	- 2,7 - 3,3	3,2 V 3,9 V
Gate-Schwellenspannung	gate threshold voltage	$i_c=24mA, v_{ce}=v_{ge}, t_v=25^\circ\text{C}$	$V_{GE(\text{th})}$	4,5	5,5
Eingangskapazität	input capacity	$f_0=1\text{MHz}, t_v=25^\circ\text{C}, v_{ce}=25V, v_{ge}=0V$	$C_{ies}$	- 45	- nF
Kollektor-Emitter Reststrom	collector-emitter cut-off current	$v_{ce}=1200V, v_{ge}=0V, t_v=25^\circ\text{C}$ $v_{ce}=1200V, v_{ge}=0V, t_v=125^\circ\text{C}$	$i_{CES}$	- 8 - 50	- mA - mA
Gate-Emitter Reststrom	gate leakage current	$v_{ce}=0V, v_{ge}=20V, t_v=25^\circ\text{C}$	$i_{GES}$	- -	400 nA
Emitter-Gate Reststrom	gate leakage current	$v_{ce}=0V, v_{eg}=20V, t_v=25^\circ\text{C}$	$i_{EGS}$	- -	400 nA
Einschaltzeit (induktive Last)	turn-on time (inductive load)	$i_c=600A, v_{ce}=600V, v_l=\pm 15V, R_g=1,6W, t_v=25^\circ\text{C}$ $i_c=600A, v_{ce}=600V, v_l=\pm 15V, R_g=1,6W, t_v=125^\circ\text{C}$	$t_{on}$	- 0,7 - 0,8	- $\mu\text{s}$ - $\mu\text{s}$
Speicherzeit (induktive Last)	storage time (inductive load)	$i_c=600A, v_{ce}=600V, v_l=\pm 15V, R_g=1,6W, t_v=25^\circ\text{C}$ $i_c=600A, v_{ce}=600V, v_l=\pm 15V, R_g=1,6W, t_v=125^\circ\text{C}$	$t_s$	- 0,9 - 1,0	- $\mu\text{s}$ - $\mu\text{s}$
Fallzeit (induktive Last)	fall time (inductive load)	$i_c=600A, v_{ce}=600V, v_l=\pm 15V, R_g=1,6W, t_v=25^\circ\text{C}$ $i_c=600A, v_{ce}=600V, v_l=\pm 15V, R_g=1,6W, t_v=125^\circ\text{C}$	$t_f$	- 0,10 - 0,15	- $\mu\text{s}$ - $\mu\text{s}$
Einschaltverlustenergie pro puls	turn-on energie per pulse	$i_c=600A, v_{ce}=600V, L_s=70nH$ $v_L=\pm 15V, R_g=1,6W, t_v=125^\circ\text{C}$	$E_{on}$	- 90	- mWs
Abschaltverlustenergie pro Puls	turn-off energie loss per pulse	$i_c=600A, v_{ce}=600V, L_s=70nH$ $v_L=\pm 15V, R_g=1,6W, t_v=125^\circ\text{C}$	$E_{off}$	- 90	- mWs

### Charakteristische Werte / Characteristic values

Inversdiode / Inverse diode					
Durchlaßspannung	forward voltage	$i_f=600A, v_{ce}=0V, t_v=25^\circ\text{C}$ $i_f=600A, v_{ce}=0V, t_v=125^\circ\text{C}$	$V_F$	- 2,2 - 2,0	2,7 V 2,5 V
Rückstromspitze	peak reverse recovery current	$i_f=600A, v_{rm}=600V, v_{eg}=10V$ $-di_f/dt = 3,0 \text{ kA}/\mu\text{s}, t_v = 25^\circ\text{C}$ $-di_f/dt = 3,0 \text{ kA}/\mu\text{s}, t_v = 125^\circ\text{C}$	$I_{RM}$	- 200 - 350	- A - A
Sperrverzögerungsladung	recovered charge	$i_f=600A, v_{rm}=600V, v_{eg}=10V$ $-di_f/dt = 3,0 \text{ kA}/\mu\text{s}, t_v = 25^\circ\text{C}$ $-di_f/dt = 3,0 \text{ kA}/\mu\text{s}, t_v = 125^\circ\text{C}$	$Q_r$	- 25 - 75	- $\mu\text{As}$ - $\mu\text{As}$

### Thermische Eigenschaften / Thermal properties

Innerer Wärmewiderstand	thermal resistance, junction to case	Transistor / transistor, DC Transistor,DC,pro Zweig/per arm Diode, DC, pro Modul/per module Diode, DC, pro Zweig/per arm	$R_{thJC}$	0,016 °C/W 0,032 °C/W 0,032 °C/W 0,064 °C/W
Übergangs-Wärmewiderstand	thermal resistance, case to heatsink	pro Modul / per Module pro Zweig / per arm	$R_{thCK}$	0,008 °C/W 0,016 °C/W
Höchstzul. Sperrsichter Temperatur	max. junction temperature	pro Modul / per Module	$t_{vj \text{ max}}$	150 °C
Betriebstemperatur	operating temperature	Transistor / transistor	$t_c \text{ op}$	-40...+150 °C
Lagertemperatur	storage temperature		$t_{stg}$	-40...+125 °C

### Mechanische Eigenschaften / Mechanical properties

Gehäuse, siehe Anlage	case, see appendix	Seite / page	1
Indr. Isolation	internal insulation		$\text{Al}_2\text{O}_3$
Anzugsdrehmoment f. mech. Befestigung	mounting torque	$t_c$	5 Nm
Anzugsdrehmoment f. elektr. Anschlüsse	terminal connection torque	$t_{stg}$	2 Nm
			8...10 Nm
Gewicht	weight	G	ca. 1500 g

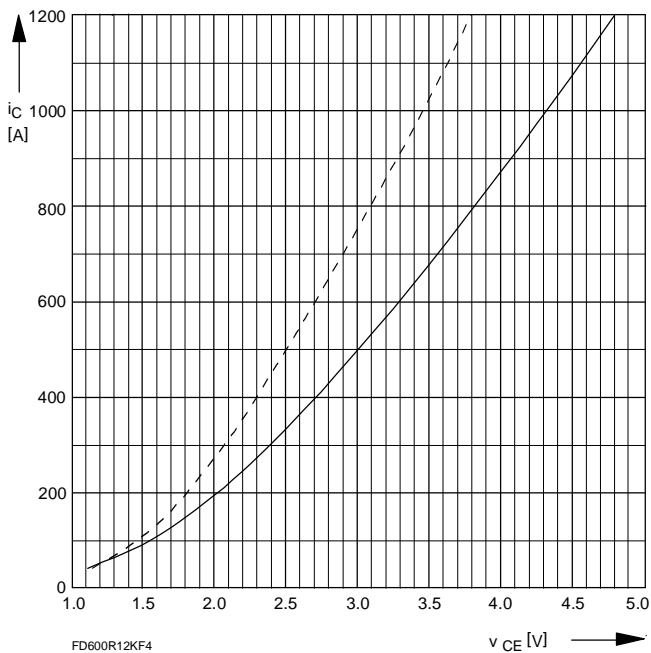
### Bedingung für den Kurzschlußschutz / Conditions for short-circuit protection

$t_g = 10 \mu\text{s}$	$V_{CC} = 750 \text{ V}$
$v_L = \pm 15 \text{ V}$	$v_{CEM} = 900 \text{ V}$
$R_{GF} = R_{GR} = 1,6 \text{ W}$	$i_{CMK1} \gg 5000 \text{ A}$
$t_{vj} = 125^\circ\text{C}$	$i_{CMK2} \gg 4000 \text{ A}$

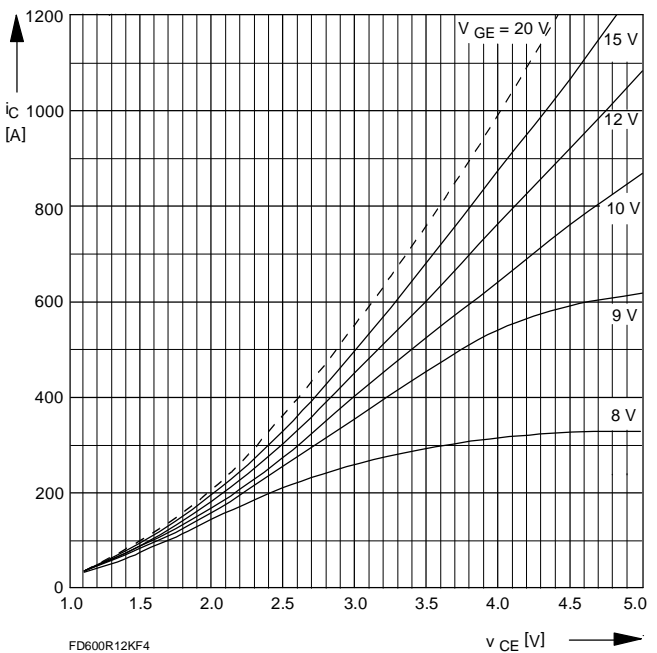
Unabhängig davon gilt bei abweichenden Bedingungen / with regard to other conditions  $v_{CEM} = V_{CES} - 20n\text{H} \times |di_f/dt|$

Mit dieser technischen Information werden Halbleiterbauelemente spezifiziert, jedoch keine Eigenschaften zugesichert. Sie gilt in Verbindung mit den zugehörigen Technischen Erläuterungen. This technical information specifies semiconductor devices but promises no characteristics. It is valid in combination with the belonging technical notes.

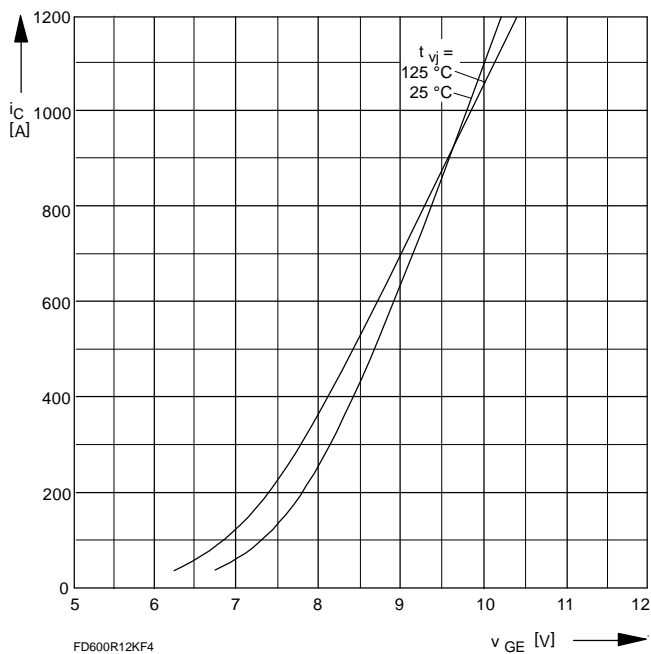
## FD 600 R12 KF4



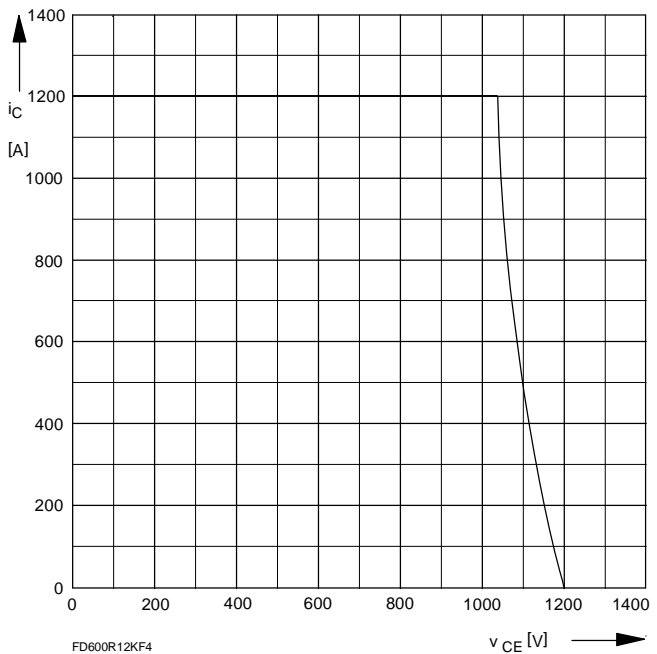
Bild/Fig. 1  
Kollektor-Emitter-Spannung im Sättigungsbereich (typisch)  
Collector-emitter-voltage in saturation region (typical)  
 $V_{GE} = 15\text{ V}$   
---  $t_{vj} = 25^\circ\text{C}$   
—  $t_{vj} = 125^\circ\text{C}$



Bild/Fig. 2  
Kollektor-Emitter-Spannung im Sättigungsbereich (typisch)  
Collector-emitter-voltage in saturation region (typical)  
 $t_{vj} = 125^\circ\text{C}$

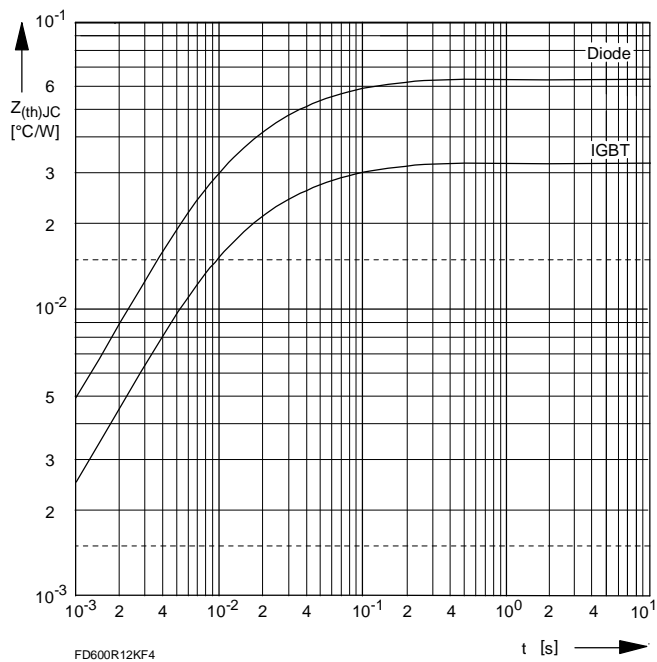


Bild/Fig. 3  
Übertragungscharakteristik (typisch)  
Transfer characteristic (typical)  
 $V_{CE} = 20\text{ V}$



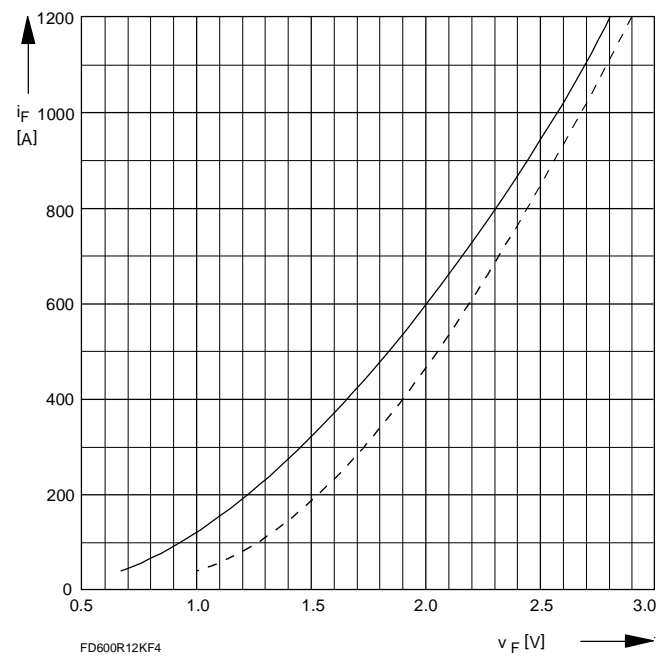
Bild/Fig. 4  
Rückwärts-Arbeitsbereich  
Reverse biased safe operating area  
 $t_{vj} = 125^\circ\text{C}$ ,  $v_{LF} = v_{LR} = 15\text{ V}$ ,  $R_G = 1,6\text{ W}$

## FD 600 R12 KF4



FD600R12KF4

Bild/Fig. 5  
Transienter innerer Wärmewiderstand je Zweig (DC)  
Transient thermal impedance per arm (DC)



Bild/Fig. 6  
Durchlaßkennlinie der Inversdiode (typisch)  
Forward characteristic of the inverse diode (typical)  
.....  $t_{vj} = 25^{\circ}\text{C}$   
—  $t_{vj} = 125^{\circ}\text{C}$